

АНТИГРУППИРОВКА ФОТОНОВ ПРИ РАССЕЯНИИ НА БОЗЕ-ЭЙНШТЕЙНОВСКОМ КОНДЕНСАТЕ АТОМОВ

Л. В. Ильинчев*, П. Л. Чаповский

Институт автоматики и электрометрии Сибирского отделения Российской академии наук
630090, Новосибирск, Россия

Новосибирский государственный университет
630090, Новосибирск, Россия

Поступила в редакцию 1 октября 2009 г.

Показано, что при рассеянии двух квантованных световых мод на атомарном конденсате Бозе–Эйнштейна возникает антигруппировка фотoreгистраций из разных мод. Эффект появляется из-за неопределенности положения волновой функции конденсата относительно оптической решетки, образованной световыми пучками. Показано, как информация, содержащаяся в истории фотoreгистраций, приводит к пространственной локализации волновой функции конденсата.

1. ВВЕДЕНИЕ

Рассеяние световых волн является одним из основных методов тестирования и контроля атомарного бозе-конденсата [1]. В данном подходе излучение выступает как инструмент для изучения нового физического объекта — бозе-эйнштейновского конденсата (BEC) атомов. Естественно, что роли двух квантовых бозеевых полей — атомарного BEC и поля фотонов — могут поменяться, и в этом случае конденсат становится новым инструментом воздействия на квантовые состояния электромагнитного поля [2]. В этой связи представляется актуальной задача исследования квантовых свойств световых пучков, взаимодействующих друг с другом посредством рассеяния на облаке BEC. В настоящей работе объектом внимания является статистика двух фотонных мод при несмещеннном рассеянии на атомарном бозе-конденсате. Продемонстрирована связь этой статистики с состоянием конденсата, точнее, с локализацией в пространстве его волновой функции. Как будет показано, неопределенность (точнее неконтролируемость) этой локализации приводит к антигруппировке событий регистрации фотонов из разных мод. При антигруппировке регистрация фотона в одной моде снижает вероятность обнаружения фотона во второй моде.

Необычное поведение корреляций интенсивностей пары световых мод при резонансном взаимодействии с атомарными ансамблями исследовалось в ряде работ. В работе [3] сообщалось о наблюдении корреляции интенсивностей мод, взаимодействующих с Λ -атомами в режиме электромагнитно-индукционной прозрачности (EIT), переходящей в антикорреляцию при разрушении EIT. В работе [4] обнаружена смена типа корреляции в режиме EIT при повышении интенсивностей световых волн. В работе [5] предсказано возникновение сжатого состояния мод в режиме, близком к EIT. В настоящей работе исследуются корреляции световых мод при их нерезонансном двухфотонном взаимодействии с BEC-атомов.

2. МОДЕЛЬ

Факт регистрации фотонов превращает атомарный конденсат и взаимодействующие с ним фотонные моды в открытую квантовую систему. Конкретная история фотопоглощений, состоящая из последовательности номеров мод, которым принадлежат зарегистрированные фотоны, и моментов их регистраций формирует квантовое состояние конденсата и полевых мод. Последовательный подход к описанию эволюции атомов и фотонов как единой открытой квантовой системы позволяет, естественно, определить состояния подсистем в любой момент

*E-mail: leonid@iae.nsk.su

времени. Однако математическая сложность заставляет упрощать описание состояния одной из подсистем. В большинстве работ, где целью является изучение квантового состояния атомарного конденсата, электромагнитные поля описываются классически. В настоящей работе исследуется квантовое состояние фотонных мод, возникшее при их взаимодействии с ВЕС. Описание состояния самого атомарного конденсата по необходимости оказывается упрощенным. Мы полагаем известной и неизменной в процессе взаимодействия с излучением форму волновой функции конденсата. В то же время информация о ее локализации, т. е. положение относительно оптической решетки, образованной световыми полями, будет меняться в процессе регистрации фотонов.

Будем нумеровать фотонные моды индексом $i = 1, 2$ и описывать их в терминах соответствующих операторов уничтожения (рождения) фотонов \hat{a}_i (\hat{a}_i^\dagger). Моды считаются плоскими волнами с векторами \mathbf{k}_i . Воспользуемся следующим модельным квантовым кинетическим уравнением для статистического оператора $\hat{\varrho}(t)$ фотонных мод:

$$\begin{aligned} \partial_t \hat{\varrho}(t) = & -i[\lambda(\hat{a}_1 + \hat{a}_2) + \lambda^*(\hat{a}_1^\dagger + \hat{a}_2^\dagger), \hat{\varrho}(t)] - \\ & - i[\mu \hat{a}_1^\dagger \hat{a}_2 + \mu^* \hat{a}_2^\dagger \hat{a}_1, \hat{\varrho}(t)] + \\ & + \sum_{i=1,2} \gamma_i (2\hat{a}_i \hat{\varrho}(t) \hat{a}_i^\dagger - \hat{a}_i^\dagger \hat{a}_i \hat{\varrho}(t) - \hat{\varrho}(t) \hat{a}_i^\dagger \hat{a}_i). \quad (1) \end{aligned}$$

Гамильтоново слагаемое из первой строки в правой части описывает динамику фотонных мод вследствие их взаимодействия с источником излучения. Предполагается (как это обычно имеет место в эксперименте), что источником для обеих мод является один и тот же лазер, что обуславливает строгие фазовые корреляции между модами¹⁾. В нашей модели лазерный источник задается комплексным параметром $\lambda = |\lambda|e^{i\vartheta}$ — «классическим током»²⁾. Ниже при построении стационарного решения уравнения (1) фаза ϑ будет считаться случайной (с равномерным распределением на интервале от 0 до 2π), что соответствует известной общепринятой модели лазерного излучения [6]. Рассеяние фотонов на кон-

¹⁾ В принципе, особенности конструкции экспериментальной установки могут приводить к некоторой случайности в относительной фазе мод, что проявится как неконтролируемое смещение оптической решетки относительно волновой функции конденсата. Мы не учитываем эту возможность.

²⁾ Из уравнения (1) путем стандартного преобразования $\hat{\varrho} \mapsto \exp[i\omega_0(\hat{a}_1^\dagger \hat{a}_1 + \hat{a}_2^\dagger \hat{a}_2)t] \hat{\varrho} \exp[-i\omega_0(\hat{a}_1^\dagger \hat{a}_1 + \hat{a}_2^\dagger \hat{a}_2)t]$ исключена собственная тривиальная динамика электромагнитных мод. При этом исчезла гармоническая (на частоте ω_0) зависимость от времени параметра λ .

денсате отражено во второй строке уравнения (1) и задается параметром μ :

$$\begin{aligned} \mu \propto & \int \langle \mathbf{r} | \psi \rangle \langle \psi | \mathbf{r} \rangle \exp[-i(\mathbf{k}_1 - \mathbf{k}_2) \cdot \mathbf{r}] d^3 \mathbf{r} \equiv \\ & \equiv \int \left\langle \mathbf{k} + \frac{\mathbf{k}_1 - \mathbf{k}_2}{2} | \psi \rangle \langle \psi | \mathbf{k} - \frac{\mathbf{k}_1 - \mathbf{k}_2}{2} \right\rangle \frac{d^3 \mathbf{k}}{(2\pi)^3}. \quad (2) \end{aligned}$$

Здесь $\langle \mathbf{r} | \psi \rangle$ есть волновая функция конденсата в координатном представлении. Мы считаем, что пространственный размер конденсата, т. е. характерный масштаб функции $\langle \mathbf{r} | \psi \rangle$, много меньше, чем диаметр поперечного сечения световых пучков. Вариант с импульсным представлением параметра μ наглядно демонстрирует важность специфических свойств атомарного конденсата (большой длины когерентности в импульсном пространстве) для эффективной связи между фотонными модами. Координатное представление параметра $\mu = |\mu|e^{i\varphi}$ делает очевидной связь фазы φ с пространственным сдвигом волновой функции конденсата, меняющим его локализацию относительно оптической решетки, формируемой световыми пучками. Действительно, при изменении локализации конденсата, $\langle \mathbf{r} | \psi \rangle \mapsto \langle \mathbf{r} - \mathbf{r}_0 | \psi \rangle$, фаза параметра μ получает приращение:

$$\mu \mapsto \mu \exp[-i(\mathbf{k}_1 - \mathbf{k}_2) \cdot \mathbf{r}_0].$$

Диссипативные слагаемые в последней строке уравнения (1) описывают поглощение фотонов в детекторах (своем для каждой моды). Константы γ_1 и γ_2 задают скорость поглощения фотонов.

Нетрудно убедиться, что стационарным решением уравнения (1) с заданными конкретными значениями параметров λ и μ оказывается проектор на чистое состояние, являющееся тензорным произведением глауберовских когерентных состояний световых мод³⁾:

$$\begin{aligned} \hat{\varrho}(\vartheta, \varphi) = & | \alpha_1(\vartheta, \varphi) \rangle \langle \alpha_1(\vartheta, \varphi) | \otimes | \alpha_2(\vartheta, \varphi) \rangle \langle \alpha_2(\vartheta, \varphi) |, \quad (3) \end{aligned}$$

где

$$\begin{aligned} \alpha_1(\vartheta, \varphi) = & -\frac{|\lambda| e^{i\vartheta}}{\gamma_1 \gamma_2 + |\mu|^2} \left(|\mu| e^{i\varphi} + i \gamma_2 \right), \\ \alpha_2(\vartheta, \varphi) = & -\frac{|\lambda| e^{i\vartheta}}{\gamma_1 \gamma_2 + |\mu|^2} \left(|\mu| e^{-i\varphi} + i \gamma_1 \right). \end{aligned} \quad (4)$$

³⁾ С помощью перехода от операторов \hat{a}_i к $\hat{b}_i = \hat{a}_i - \alpha_i$ (соответственно для сопряженных) и подходящего выбора параметров α_i можно исключить все динамические члены из уравнения (1). Стационарным решением получившегося уравнения оказывается вакуум по отношению к операторам \hat{b}_i , что, с другой стороны, есть глауберовское состояние по отношению к \hat{a}_i .

Как уже говорилось, мы считаем известной и неизменной форму волновой функции конденсата, задающую $|\mu|$. Информация о пространственной локализации волновой функции конденсата относительно оптической решетки и, соответственно, о фазе φ по предположению доступна только частично и описывается некоторым заданным *a priori* распределением вероятности $P(\varphi)$. Необходимость вводить распределение по φ обусловлено невозможностью контролировать взаимное положение решетки и конденсата при каждом его приготовлении. Ниже будет показано, как это распределение трансформируется в процессе регистрации фотонов. Усредняя по распределению фазы φ и учитывая упомянутую выше полную неопределенность фазы ϑ , приходим к следующему выражению для стационарного статистического оператора полевых мод:

$$\hat{\varrho}_P \equiv \int P(\varphi) \hat{\varrho}(\vartheta, \varphi) \frac{d\vartheta d\varphi}{2\pi}. \quad (5)$$

Необходимо подчеркнуть, что фазы ϑ и φ (а вместе с φ и локализацией волновой функции конденсата) фигурируют в нашем рассмотрении как классические величины. Неопределенности фаз отражают лишь наше незнание их конкретных значений, существующих независимо от проводимых измерений.

3. РЕЗУЛЬТАТЫ

Полученный статистический оператор позволяет вычислить важный параметр статистики фотонов в модах, характеризующий корреляции между событиями регистрации фотопоглощений в детекторах 1 и 2:

$$g^{(2)} = \frac{\text{Tr}(\hat{\varrho}_P \hat{a}_1^\dagger \hat{a}_2^\dagger \hat{a}_2 \hat{a}_1)}{\text{Tr}(\hat{\varrho}_P \hat{a}_1^\dagger \hat{a}_1) \text{Tr}(\hat{\varrho}_P \hat{a}_2^\dagger \hat{a}_2)}. \quad (6)$$

Результат вычисления параметра $g^{(2)}$ имеет следующий вид:

$$g^{(2)} = 1 - \frac{4\gamma_1\gamma_2|\mu|^2 \langle (\Delta \sin \varphi)^2 \rangle_P}{\prod_{i=1,2} (\gamma_i^2 + |\mu|^2 + 2(-1)^i |\mu| \gamma_i \langle \sin \varphi \rangle_P)}. \quad (7)$$

Здесь введено обозначение усреднения по распределению $P(\varphi)$:

$$\langle \dots \rangle_P \equiv \int \dots P(\varphi) d\varphi.$$

Из выражения (7) следует, что при ненулевой дисперсии синуса фазы φ , т. е. при $\langle (\Delta \sin \varphi)^2 \rangle_P \equiv \langle \sin^2 \varphi \rangle_P - \langle \sin \varphi \rangle_P^2 > 0$, имеет место неравенство $g^{(2)} < 1$, т. е. наблюдается антигруппировка фотоотсчетов в модах 1 и 2. В случае определенного значения φ (как это имеет место для состояния $\hat{\varrho}(\vartheta, \varphi)$) корреляция между фотоотсчетами отсутствует: $g^{(2)} = 1$. При полной неопределенности фазы φ (т. е. при $P(\varphi) = P^{(0)}(\varphi) \equiv 1/2\pi$) минимум параметра $g^{(2)}$ (максимум эффекта антигруппировки) достигается при $|\mu| = \sqrt{\gamma_1\gamma_2}$ и равен $(\gamma_1^2 + \gamma_2^2)(\gamma_1 + \gamma_2)^{-2}$.

Параметр $g^{(2)}$ из (6) и его выражение (7) соответствуют нулевому времени задержки между регистрациями фотонов из мод 1 и 2. Из формы стационарного решения (3) кинетического уравнения следует, что полученное выражение остается верным и при ненулевой задержке, если она не превышает времени релаксации распределения $P(\varphi)$ к $P^{(0)}(\varphi)$.

Любая история регистраций фотонов из мод 1 и 2 меняет имеющуюся информацию о фазе параметра μ и, что эквивалентно, о локализации конденсата относительно оптической решетки. Регистрация n фотонов из моды 1 и $N - n$ фотонов из моды 2 приводит к преобразованию статистического оператора

$$\hat{\varrho}_P \mapsto \hat{\varrho}_n^{(N)}, \quad (8)$$

где

$$\hat{\varrho}_n^{(N)} = \frac{\hat{a}_1^n \hat{a}_2^{N-n} \hat{\varrho}_P \hat{a}_2^{\dagger N-n} \hat{a}_1^{\dagger n}}{\text{Tr}(\hat{a}_2^{\dagger N-n} \hat{a}_1^{\dagger n} \hat{a}_1^n \hat{a}_2^{N-n} \hat{\varrho}_P)}. \quad (9)$$

Данное операторное преобразование сводится к следующему преобразованию исходного распределения $P(\varphi)$:

$$P(\varphi) \mapsto P_n^{(N)}(\varphi) = \frac{P(\varphi) |\alpha_1(\varphi)|^{2n} |\alpha_2(\varphi)|^{N-n}}{\int P(\varphi') |\alpha_1(\varphi')|^{2n} |\alpha_2(\varphi')|^{N-n} d\varphi'}. \quad (10)$$

Здесь не отражена несущественная в данном случае зависимость параметров α_1 и α_2 от фазы ϑ .

Знание чисел n и $N - n$ позволяет исследовать локализующий эффект от регистрации фотонов, пользуясь распределением $P_n^{(N)}(\varphi)$. Рассмотрим усреднение эффекта локализации по всем историям фотoreгистраций с заданным N . Для этого необходимо суммирование по всем возможным разбиениям числа N по обеим модам вместе с вероятностями таких разбиений. Эти вероятности мы обозначим как $p(n|N)$:

$$p(n|N) = \frac{N! \int P(\varphi) |\alpha_1(\varphi)|^{2n} |\alpha_2(\varphi)|^{N-n} d\varphi}{n!(N-n)! \int P(\varphi') (|\alpha_1(\varphi')|^2 + |\alpha_2(\varphi')|^2)^N d\varphi'}. \quad (11)$$

Фигурирующий в уравнении (11) комбинаторный фактор отражает учет всевозможных порядков регистрации квантов. Удобным показателем эффекта локализации от N зарегистрированных фотонов могут служить усредненные квадратичные дисперсии синуса и косинуса фазы φ :

$$\langle (\Delta \sin \varphi)^2 \rangle^{(N)} = \sum_{n=0}^N p(n|N) \left[\langle \sin^2 \varphi \rangle_n^{(N)} - (\langle \sin \varphi \rangle_n^{(N)})^2 \right]. \quad (12)$$

Здесь символом $\langle \dots \rangle_n^{(N)}$ обозначено усреднение по распределению $P_n^{(N)}(\varphi)$ из уравнения (10). Аналогичным образом конструируется величина $\langle (\Delta \cos \varphi)^2 \rangle^{(N)}$. Заметим, что параметр μ входит в выражения (4) в сумме с мнимыми величинами $i\gamma_{1,2}$. Поэтому следует ожидать разной зависимости дисперсии косинуса и синуса фазы φ от числа зарегистрированных фотонов.

Целесообразно сравнить дисперсии вида (12), усредненные по историям с различными n , с дисперсиями

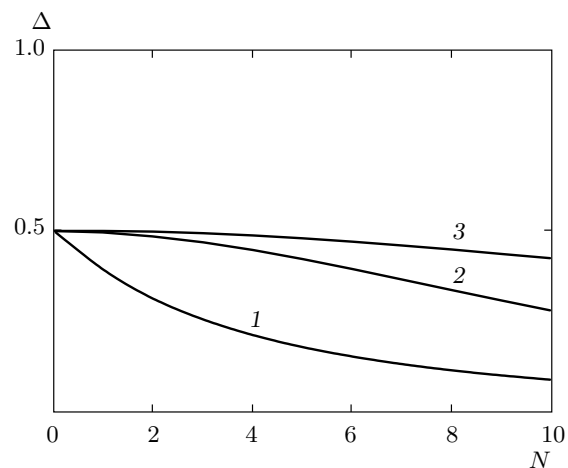
$$\langle (\Delta \sin \varphi)^2 \rangle_{P(N)} = \langle \sin^2 \varphi \rangle_{P(N)} - \langle \sin \varphi \rangle_{P(N)}^2,$$

$$\langle (\Delta \cos \varphi)^2 \rangle_{P(N)} = \langle \cos^2 \varphi \rangle_{P(N)} - \langle \cos \varphi \rangle_{P(N)}^2,$$

вычисленными по усредненным распределениям

$$P^{(N)}(\varphi) = \sum_{n=0}^N p(n|N) P_n^{(N)}(\varphi). \quad (13)$$

Эти дисперсии отвечают ситуации отсутствия информации о числе n . На рисунке приведены результаты вычисления дисперсий для числа зарегистрированных фотонов от 0 до 10 при начальном однородном распределении $P^{(0)}(\varphi) = 1/2\pi$. Видно различие поведения дисперсий косинуса и синуса фазы φ . Знание содержания конкретной истории, т. е. числа n , существенно уменьшает дисперсию синуса по сравнению с дисперсией, вычисленной по распределению $P^{(N)}(\varphi)$ (кривые 1 и 2). В то же время дисперсия косинуса оказалась нечувствительной к способу усреднения — по историям с различным n или по единому распределению $P^{(N)}(\varphi)$ (кривая 3). Данный факт является следствием легко проверяемой симметрии распределения $P_n^{(N)}(\varphi)$



Зависимость дисперсий синуса и косинуса фазы φ от числа зарегистрированных фотонов N . Кривая 1 — $\langle (\Delta \sin \varphi)^2 \rangle^{(N)}$ (усреднение по историям с разбиением фотонов по модам); кривая 2 — $\langle (\Delta \sin \varphi)^2 \rangle_{P(N)}$ (без такого усреднения); кривая 3 — $\langle (\Delta \cos \varphi)^2 \rangle_{P(N)} = \langle (\Delta \cos \varphi)^2 \rangle^{(N)}$. Начальное распределение фазы φ предполагается однородным

относительно точки $\pi/2$. По этой причине имеет место равенство $\langle \cos \varphi \rangle_n^{(N)} = 0$ и, как следствие, $\langle (\Delta \cos \varphi)^2 \rangle_{P(N)} = \langle (\Delta \cos \varphi)^2 \rangle^{(N)}$.

4. ОБСУЖДЕНИЕ

Мы рассмотрели простейшие следствия взаимодействия двух квантованных световых мод при их несмещеннном рассеянии на атомарном конденсате. В используемом подходе конденсат фигурирует как классическая система — его волновая функция $\langle \mathbf{r} | \psi \rangle$ есть фактически классическое поле, не меняющееся в процессе эксперимента. Такой взгляд представляется оправданным в предположении малых чисел фотонов в модах.

Принципиальным моментом является неопределенность фазы φ . В нашем рассмотрении эта фаза зависит от относительного пространственного расположения (локализации) волновой функции конденсата и оптической решетки, формируемой в области перекрытия фотонных мод. Фаза φ определяет характер рассеяния света, т. е. преимущественное направление процесса обмена фотонами между модами и, следовательно, стационарные средние числа фотонов в модах. Неопределенность фазы φ может быть обусловлена как невозможностью контролировать положение конденсата на масштабе $|\mathbf{k}_1 - \mathbf{k}_2|^{-1}$,

так и упомянутой выше в примечании случайностью в относительной фазе фотонных мод. Данный механизм возникновения неопределенности фазы φ может быть явно отображен в кинетическом уравнении (1) заменой комбинаций $\hat{a}_1 + \hat{a}_2$ и $\hat{a}_1^\dagger + \hat{a}_2^\dagger$ в члене, отвечающем источнику фотонов, соответственно на комбинации $\hat{a}_1 + \exp(-i\varphi)\hat{a}_2$ и $\hat{a}_1^\dagger + \exp(i\varphi)\hat{a}_2^\dagger$. В этом случае параметр μ следует считать фиксированным: $\mu = |\mu|$. Результаты такого подхода окажутся эквивалентными изложенным выше.

Регистрируемые фотоны несут во внешнюю среду информацию о состоянии системы фотонных мод и атомарного конденсата. Конкретная история фоторегистраций трансформирует начальное априорное распределение фазы φ . Вычисления показывают естественное ожидаемое уменьшение дисперсии фазы (на примере ее косинуса и синуса) при увеличении числа зарегистрированных фотонов. При этом более детальное описание истории, включающее в себя не только общее число зарегистрированных фотонов, но и соответствующие числа для обеих мод, приводит к существенно более быстрому (для синуса) уменьшению дисперсии.

Для проявления эффекта антигруппировки фотоотсчетов оказываются необходимы специфические свойства атомарного конденсата (коherence и многочастичность), позволяющие реализовать необходимую сильную связь между модами. Действительно, для наблюдения антигруппировки в оптимальных условиях требуется выполнение условия $|\mu| = \sqrt{\gamma_1 \gamma_2}$. Тогда при $\gamma_1 = \gamma_2$ мы имеем $g^{(2)} = 1/2$. Оценим величину параметра $|\mu|$, предполагая для простоты малость характерного пространственного масштаба волновой функции конденсата по сравнению с $|\mathbf{k}_1 - \mathbf{k}_2|^{-1}$. Рассчитывая взаимодействие световых мод стандартным образом во втором порядке по теории возмущений, мы получаем, что в дополнение к фактору из правой части выражения (2) мы имеем сомножители

$$\pi \frac{\omega_0}{\hbar \Omega} \cdot \frac{|d|^2}{\sqrt{V_1 V_2}},$$

где ω_0 — частота фотонных мод, Ω — модуль разности частоты мод и частоты дипольного перехода, d — матричный элемент дипольного момента данного перехода, V_1 и V_2 — пространственные объемы, занимаемые фотонными модами (объемы появились через конфигурационные функции фотонных мод). Полагая $\omega_0/\Omega \approx 10^7$, $d = 15D$ (как для ^{87}Rb) и считая что $\langle \mathbf{r} | \psi \rangle$ нормирована на число порядка 10^6 конденсированных атомов, получаем оценку

$$|\mu| \approx \frac{10^8}{\sqrt{V_1 V_2 [\text{см}^3]}} [\text{с}^{-1}].$$

Пусть фотонные моды имеют диаметр порядка 10^{-1} см и длину порядка 10^2 см. Тогда, если считать верхней границей для γ_1 и γ_2 время пролета фотона вдоль моды, параметры $|\mu|$ и $\sqrt{\gamma_1 \gamma_2}$ оказываются величинами одного порядка, что и требуется для надежной регистрации антигруппировки.

Само проявление эффекта антигруппировки как определенных свойств состояния $\hat{\rho}_P$ допускает классическую интерпретацию в терминах световых полей с анткоррелиирующими классическими амплитудами. Действительно, когерентные состояния, входящие в уравнения (3), специфицируются некоторыми заданными значениями амплитуд полей обеих мод. Усреднение в формуле (5) осуществляется по положительно-определенным (т. е. классическим) распределениям фаз ϑ и φ . Следовательно, получающееся состояние $\hat{\rho}_P$, для которого имеет место антигруппировка, представляет собой частный случай полевого состояния с классическими случайными амплитудами мод. Со всеми такими состояниями можно сопоставить положительно-определенные вероятностные распределения амплитуд α_1 и α_2 , и для этих состояний имеет место универсальное ограничение снизу на величину параметра $g_{cl}^{(2)}$ (классического). Заметим, что для всех положительно-определенных вероятностных распределений амплитуд и для всех действительных значений числа z верно очевидное неравенство

$$\left\langle \left(z - \frac{|\alpha_1|^2}{\langle |\alpha_1|^2 \rangle_{cl}} - \frac{|\alpha_2|^2}{\langle |\alpha_2|^2 \rangle_{cl}} \right)^2 \right\rangle_{cl} \geq 0. \quad (14)$$

Отсюда следует

$$\begin{aligned} g_{cl}^{(2)} &= \frac{\langle |\alpha_1|^2 |\alpha_2|^2 \rangle_{cl}}{\langle |\alpha_1|^2 \rangle_{cl} \langle |\alpha_2|^2 \rangle_{cl}} \geq \\ &\geq 2 - \frac{\langle |\alpha_1|^4 \rangle_{cl}}{2 \langle |\alpha_1|^2 \rangle_{cl}^2} - \frac{\langle |\alpha_2|^4 \rangle_{cl}}{2 \langle |\alpha_2|^2 \rangle_{cl}^2}. \end{aligned} \quad (15)$$

Известно также (см., например, [7]), что в классической стохастической оптике $\langle |\alpha|^4 \rangle_{cl} / \langle |\alpha|^2 \rangle_{cl}^2 \geq 1$. Следовательно, правая часть неравенства (15) меньше единицы при любой классической случайности, т. е. допустима антигруппировка фотоотсчетов. Нетрудно проверить, что выражение (7) удовлетворяет точному равенству в (15).

Заметим в заключение, что наблюдение антигруппировки возможно при сколь угодно слабых полях, практически не возмущающих конденсат, что делает оправданным наше предположение о

неизменности его состояния. Также заметим, что когерентные свойства ансамбля атомов принципиально важны для надежной регистрации эффекта, а сам механизм эффекта, проявляющийся через антигруппировку фотоотсчетов, иной в сравнении с предметом работ [3, 4].

Работа выполнена при финансовой поддержке РФФИ (грант № 09-02-00801), Президиума СО РАН и в рамках программы Отделения физических наук РАН «Фундаментальная оптическая спектроскопия и ее приложения».

ЛИТЕРАТУРА

1. K. Soutwel, Nature **416**, 205 (2002).
2. H. D. Politzer, Phys. Rev. A **43**, 6444 (1991); J. Javanainen, Phys. Rev. Lett. **72**, 2375 (1994); J. Javanainen, Phys. Rev. Lett. **75**, 1927 (1995); O. Morice, Y. Castin, and J. Dalibar, Phys. Rev. A **51**, 3896 (1995); J. Roustekoski and Dan F. Walls, Phys. Rev. A **55**, 3625 (1997); N. S. Ginsberg, S. R. Garner, and L. V. Hau, Nature **445**, 623 (2007).
3. V. A. Sautenkov, Y. V. Rostovtsev, and M. A. Scully, Phys. Rev. A **72**, 065801 (2005); G. O. Ariumbold, V. A. Sautenkov, Y. V. Rostovtsev, and M. A. Scully, *Intensity Correlation and Anticorrelations in Coherently Prepared Atomic Vapor*, arXiv:quant-ph/0603025.
4. L. S. Cruz et al., Eur. Phys. J. D **41**, 531 (2007).
5. A. Sinatra, Phys. Rev. Lett. **97**, 253601 (2006).
6. S. D. Bartlet, T. Rudolph, and R. W. Spekkens, Rev. Mod. Phys. **79**, 555 (2007).
7. С. Я. Килин, *Квантовая оптика (поля и их детектирование)*, Навука і Тэхника, Минск (1990).